

КИНЕМАТИКА И ДИНАМИКА ПОДЗЕМНОГО ТРУБОПРОВОДА ПРИ КОНЕЧНЫХ ПЕРЕМЕЩЕНИЯХ*

О. П. ТКАЧЕНКО

Вычислительный центр ДВО РАН, Россия, Хабаровск

e-mail: olegt@as.khb.ru

The kinematics of movement of the curved pipeline is studied and the formula of the connection between displacement of its wall and axis line is obtained. The complete mathematical two-dimensional model of the pipeline motion is constructed by finite wall displacements. The two-dimensional model is converted into the one-dimensional quasi-linear model, the restrictions for this conversion are derived. The test calculations are performed.

1. Общая физическая формулировка задачи

Пусть трубопровод проложен в сильно вязкой среде и имеет форму слабо изогнутой плоской кривой Γ . Он заполняется стационарным потоком жидкости. После этого он начинает двигаться, так как не находится в равновесии. Требуется построить математическую модель, описывающую медленное движение осевой линии Γ с учетом конечности перемещения (геометрически нелинейная задача), исследовать кинематику движения трубопровода, а также провести тестовые расчеты.

2. Кинематика движения трубопровода

Введем глобальные декартовы координаты $\{Oxyz\}$ и “начальные” лагранжевы координаты $\{Os\theta R\}$ (рис. 1) [5]. Пусть известны компоненты вектора перемещения стенки в начальной конфигурации: $\overset{o}{w}_s, \overset{o}{w}_\theta, \overset{o}{w}_R$. Требуется определить по ним новые координаты осевой линии $x(s), y(s), z(s)$.

Определение. *Осевая линия — это линия, проходящая через геометрические места центров тяжести сечений трубы:*

$$\mathbf{r}_c = \frac{1}{S} \int_S \mathbf{r}_\sigma d\sigma, \quad (1)$$

$d\sigma$ — элемент площади сечения, S — площадь сечения, \mathbf{r}_σ — радиус-вектор точек сечения.

*Работа поддержана Российским фондом фундаментальных исследований, грант № 01-01-00375.
© О. П. Ткаченко, 2003.

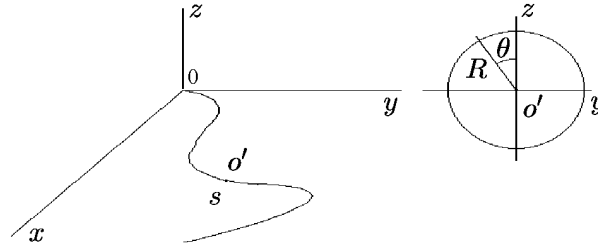


Рис. 1. Система координат.

Пусть \mathbf{r}_o — радиус-вектор в начальном положении оси Γ , \mathbf{w} — вектор перемещения стенки. Тогда

$$\mathbf{r} = \mathbf{r}_o + \mathbf{w}.$$

В [1] получена формула

$$\mathbf{r}_o = \left(x_o(s) + \frac{dy_o}{ds} R \sin \theta \right) \mathbf{i} + \left(y_o(s) - \frac{dx_o}{ds} R \sin \theta \right) \mathbf{j} + R \cos \theta \mathbf{k}. \quad (2)$$

Если считать трубу оболочкой и принять гипотезу прямых нормалей, то компоненты вектора перемещения в координатах (s, θ, R) [1]:

$$\begin{cases} w_s = u(1 + k_1 \gamma) - \frac{\gamma}{A} \frac{\partial w}{\partial s}, \\ w_\theta = v(1 + k_2 \gamma) - \frac{\gamma}{B} \frac{\partial w}{\partial \theta}, \\ w_R = w. \end{cases} \quad (3)$$

Здесь u, v, w — компоненты перемещения срединной поверхности стенки в начальных лагранжевых координатах;

$$\gamma = R - R_o, B = R_o, k_2 = \frac{1}{R_o}, k_1 = \frac{\sin \theta}{\rho_o + R_o \sin \theta}, \quad A = 1 + \kappa_o R_o \sin \theta.$$

После простых расчетов для радиуса-вектора осевой линии получим

$$\begin{aligned} \mathbf{r}_c = & \left[x_o(s) + \frac{1}{2\pi} \frac{dx_o}{ds} \int_0^{2\pi} u d\theta + \frac{1}{2\pi} \frac{dy_o}{ds} \int_0^{2\pi} (v \cos \theta + w \sin \theta) d\theta \right] \cdot \mathbf{i} + [y_o(s) + \\ & + \frac{1}{2\pi} \frac{dy_o}{ds} \int_0^{2\pi} u d\theta - \frac{1}{2\pi} \frac{dx_o}{ds} \int_0^{2\pi} (v \cos \theta + w \sin \theta) d\theta] \cdot \mathbf{j} + \frac{1}{2\pi} \int_0^{2\pi} (w \cos \theta - v \sin \theta) d\theta \cdot \mathbf{k}. \quad (4) \end{aligned}$$

Получили уравнение осевой линии трубопровода в зависимости от перемещения его срединной поверхности, выраженного в “начальной” лагранжевой системе координат.

3. Связь перемещений в начальной и актуальной конфигурациях

Как показано в [2], связь физических компонент вектора перемещения оболочки в начальной и актуальной системах координат выражается формулами

$$\begin{cases} u = \frac{\overset{\circ}{u}}{A_o} \left(A - \frac{\partial u}{\partial s} - v\kappa \cos \theta \right) - \frac{\overset{\circ}{v}}{R_o} \frac{\partial u}{\partial \theta} - \overset{\circ}{w} u \frac{\kappa \sin \theta}{A}, \\ v = \overset{\circ}{v} \left(1 - \frac{1}{R_o} \frac{\partial v}{\partial \theta} - \frac{w}{R_o} \right) - \frac{\overset{\circ}{u}}{A_o} \left(\frac{\partial v}{\partial s} - u\kappa \cos \theta \right) - \overset{\circ}{w} \frac{v}{R_o}, \\ w = \overset{\circ}{w} - \frac{\overset{\circ}{u}}{A_o} \left(\frac{\partial w}{\partial s} - u\kappa \sin \theta \right) - \frac{\overset{\circ}{v}}{R_o} \left(\frac{\partial w}{\partial \theta} - v \right). \end{cases} \quad (5)$$

Из уравнений движения будут найдены (u, v, w) , поэтому относительно неизвестных $(\overset{\circ}{u}, \overset{\circ}{v}, \overset{\circ}{w})$ получаются алгебраические уравнения.

Для текущего положения осевой линии Γ из (4) получим

$$\begin{cases} x(s, t) = x_o(s) + \frac{1}{2\pi} \left[\frac{dx_o}{ds} \int_0^{2\pi} \overset{\circ}{u} d\theta + \frac{dy_o}{ds} \int_0^{2\pi} (\overset{\circ}{v} \cos \theta + \overset{\circ}{w} \sin \theta) d\theta \right], \\ y(s, t) = y_o(s) + \frac{1}{2\pi} \left[\frac{dy_o}{ds} \int_0^{2\pi} \overset{\circ}{u} d\theta - \frac{dx_o}{ds} \int_0^{2\pi} (\overset{\circ}{v} \cos \theta + \overset{\circ}{w} \sin \theta) d\theta \right], \\ z(s, t) = \frac{1}{2\pi} \int_0^{2\pi} (\overset{\circ}{w} \cos \theta - \overset{\circ}{v} \sin \theta) d\theta. \end{cases} \quad (6)$$

Текущая кривизна выражается формулой, известной из дифференциальной геометрии:

$$\kappa(s, t) = \frac{d^2 y}{ds^2} \left(\frac{dx}{ds} \right)^{-1}. \quad (7)$$

4. Краевые условия на внутренней и внешней поверхностях трубопровода

В [2] показано, что физические компоненты тензора напряжений на внутренней и внешней поверхностях трубопровода выражаются соотношениями

$$\begin{cases} p_{sR} = 0, \\ p_{\theta R} = -\frac{2\mu u_1^* \cos \theta}{R_o \left(0,5 - \ln \left| \frac{\gamma \rho_{gr} u_1^*}{4 \mu} R_o \right| \right)}, \\ p_{RR} = -p_e & \text{при } R = R_o + \frac{h}{2}, \\ p_{sR} = -\Phi_t(v_{so}), p_{\theta R} = 0, \\ p_{RR} = -p & \text{при } R = R_o - \frac{h}{2}, \end{cases} \quad (8)$$

$$p_e = \rho_{gr} g h_o \left(1 - \frac{R_o}{h_o} \cos \theta \right) + \frac{2\mu u_2^* \sin \theta}{R_o \left(0,5 - \ln \left| \frac{\gamma \rho_{gr} u_2^*}{4 \mu} R_o \right| \right)}.$$

Здесь μ — вязкость среды, ρ_{gr} — плотность среды, γ — число Маскерони, h_o — глубина закладки трубопровода, Φ_t — плотность силы трения внутреннего потока о стенку. Формулы (8) дают краевые условия на поверхностях трубопровода, рассматриваемого как трехмерное упругое тело.

Внешнее давление p_e найдено из решения задачи обтекания бесконечного цилиндра потоком вязкой жидкости [3]. В [3] $u = u_1^* = u_2^*$ — скорость обтекания цилиндра на бесконечности. Поскольку наша постановка задачи отличается, этими результатами надо пользоваться осторожно и смысл u_1^* , u_2^* должен уточняться в соответствии с физическим смыслом задачи.

5. Уравнения движения трубопровода. Переход к оболочке

Все уравнения движения трубопровода будут записываться в актуальной системе координат. Скорость ее движения мала, и производными по времени от координатных векторов пренебрегаем. Уравнения движения упругого тела в актуальной конфигурации [4]:

$$\rho_t a^k = \rho_t F^k + \nabla_i p^{ki}, \quad (9)$$

обозначения стандартные.

Деформации в оболочке можно считать малыми, если прогиб не превышает толщины стенки h [5]. В данном случае перемещение стенки может быть намного больше h . Считать деформации малыми нам позволяет то, что картина деформирования трубопровода в рассматриваемом случае подобна изгибанию длинного стержня (рис. 2). При этом радиальный прогиб w_o , обозначающий изменение радиуса трубы, мал по сравнению с толщиной стенки. Конечно только смещение сечения трубы как целого, без деформации окружности. При таком перемещении выполнены соотношения

$$\frac{1}{R} \frac{\partial w_\theta}{\partial \theta} + \frac{w_R}{R} = 0, \quad \frac{1}{R} \frac{\partial w_R}{\partial \theta} - \frac{w_\theta}{R} = 0. \quad (10)$$

Тогда можно показать, что выражения для деформаций стенки совпадают с выражениями для деформации линейной теории. Только в ε^{ss} появляется нелинейное слагаемое, пренебрежение которым означает отказ от учета влияния изгиба осевой линии трубопровода на продольное растяжение его стенки вдоль оси (Os) [5]. В нашем случае пренебрегать этим влиянием нельзя. Точные выражения для деформаций имеют вид [4]

$$\varepsilon^{ij} = \frac{1}{2} \left(g^{ii} \nabla_i w^j + g^{jj} \nabla_j w^i - g^{ii} g^{jj} \sum_{k=1}^3 (g_{kk} \nabla_i w^k \nabla_j w^k) \right), \quad (11)$$

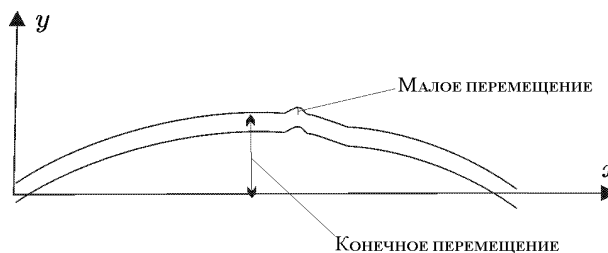


Рис. 2. Конечные перемещения.

где w^i — контравариантные компоненты вектора перемещения, g^{ij} — компоненты метрического тензора. В (11) нет суммирования по i, j . Закон Гука имеет вид

$$p_{ii} = \lambda I + 2\mu\varepsilon_{ii}, \quad I = \varepsilon_i^i \text{ — инвариант } \hat{\varepsilon}, \quad p_{ij} = 2\mu\varepsilon_{ij}, \quad i \neq j, \quad i, j = s, \theta, R. \quad (12)$$

Выпишем физические компоненты тензора деформаций, необходимые для расчетов:

$$\varepsilon_{ss} = \frac{1}{\sqrt{g_{11}}} \left[\frac{\partial w_s}{\partial s} + w_\theta \kappa \cos \theta + w_R \kappa \sin \theta - \frac{1}{2\sqrt{g_{11}}} \left[\left(\frac{\partial w_\theta}{\partial s} \right)^2 + \left(\frac{\partial w_R}{\partial s} \right)^2 \right] \right],$$

$$\varepsilon_{\theta\theta} = \frac{\partial w_\theta}{R\partial\theta} + \frac{w_R}{R}; \quad \varepsilon_{RR} = \frac{\partial w_R}{\partial R}; \quad \varepsilon_{s\theta} = \frac{1}{2} \left(\frac{1}{\sqrt{g_{11}}} \frac{\partial w_\theta}{\partial s} + \frac{\partial w_s}{R\partial\theta} - \frac{w_s}{\sqrt{g_{11}}} \kappa \cos \theta \right). \quad (13)$$

Здесь отброшены квадраты от соотношений (10) и от производных $\partial/\partial R$. Линейные части оставлены потому, что малыми деформациями сечения пренебрегать нельзя и вычисления производились до перехода к уравнениям оболочки.

Переход от соотношений (9)–(13) к уравнениям оболочки в общих чертах описан в [1], и подробно изложен в [6].

Перейдем к уравнениям движения оболочки, которые записываются относительно компонент вектора перемещения срединной поверхности стенки (3) (но в актуальной системе координат). Переходя к безразмерным переменным $\zeta = s/\ell$, $\tau = \omega t$, $u' = u/R_o$, $v' = v/R_o$, $w' = w/R_o$, получим уравнения движения стенки:

$$\alpha(1 - \varepsilon f \sin \theta) \frac{\partial I'}{\partial \zeta} - (1 - \nu) \frac{\partial \text{ch}'}{\partial \theta} + (1 - \nu) \left[\varepsilon f u' \sin \theta - \alpha(1 - \varepsilon f \sin \theta) \frac{\partial w'}{\partial \zeta} \right] = -\frac{1}{E^* h^*} X,$$

$$\frac{\partial I'}{\partial \theta} + (1 - \nu) \alpha(1 - \varepsilon f \sin \theta) \frac{\partial \text{ch}'}{\partial \zeta} + (1 - \nu) \varepsilon f \sin \theta \left(v' - \frac{\partial w'}{\partial \theta} \right) = -\frac{1}{E^* h^*} Y,$$

$$- (1 + \varepsilon f \sin \theta) I' + (1 - \nu) \left[2\varepsilon f w' \sin \theta + \alpha(1 - \varepsilon f \sin \theta) \frac{\partial u'}{\partial \zeta} + \varepsilon f \frac{\partial}{\partial \theta} (v' \sin \theta) \right] -$$

$$-\frac{h^{*2}}{12} \nabla^2 (w' + \nabla^2 w') = -\frac{1}{E^* h^*} Z,$$

$$I' = \alpha(1 - \varepsilon f \sin \theta) \frac{\partial u'}{\partial \zeta} + \varepsilon f v' \cos \theta + \frac{\partial v'}{\partial \theta} + (1 + \varepsilon f \sin \theta) w' -$$

$$-\frac{1}{2} (1 - 2\varepsilon f \sin \theta) \alpha^2 \left[\left(\frac{\partial w'}{\partial \zeta} \right)^2 + \left(\frac{\partial v'}{\partial \zeta} \right)^2 \right],$$

$$\text{ch}' = \frac{1}{2} \left[\alpha(1 - \varepsilon f \sin \theta) \frac{\partial v'}{\partial \zeta} - \varepsilon f u' \cos \theta - \frac{\partial u'}{\partial \theta} \right],$$

$$\nabla^2 = \alpha^2 \frac{\partial^2}{\partial \zeta^2} + \frac{\partial^2}{\partial \theta^2}; \quad E^* = \frac{E}{1 - \nu^2},$$

$$\frac{1}{h^*} X = -\rho_t R_o^2 \omega^2 \frac{\partial^2 u'}{\partial \tau^2} + \frac{1}{h^*} \Phi_t(v_{so}),$$

$$\frac{1}{h^*} Y = -\rho_t R_o^2 \omega^2 \frac{\partial^2 v'}{\partial \tau^2} - \frac{1}{E^* h^*} \frac{2u_1^* \mu \cos \theta}{R_o \left(0,5 - \ln \left| \frac{\gamma \rho_{gr} u_1^* R_o}{4\mu} \right| \right)},$$

$$\frac{1}{h^*} Z = -\rho_t R_o^2 \omega^2 \frac{\partial^2 w'}{\partial \tau^2} + \frac{1}{h^*} (p - p_e). \quad (14)$$

Здесь введены обозначения: $h^* = h/R_o \ll 1$ — относительная толщина стенки; $f(\zeta, \tau) = \frac{\kappa(\zeta, \tau)}{\max_{0 < \zeta < \mathcal{L}} |\kappa_o(\zeta)|}$ — относительная кривизна оси; $\varepsilon = R_o \cdot \max_{0 < \zeta < \mathcal{L}} |\kappa_o(\zeta)| \ll 1$ — малый параметр; ℓ — характерный линейный размер по s ; ω — характерная частота системы; $\alpha = R_o/\ell$ — безразмерный коэффициент. Для замыкания этих уравнений определим p , $\Phi_t(v_{so})$, а также поставим краевые условия.

В качестве краевых можно взять условия жесткого закрепления краев оболочки:

$$u' = v' = w' = \frac{\partial w'}{\partial \zeta} = 0 \quad \text{при } \zeta = 0, \mathcal{L}. \quad (15)$$

Считая движение квазистационарным при больших временах t , воспользуемся формулой распределения давления на стенку из [1]:

$$p = p_a + \ell \beta v_{so}^2 (\mathcal{L} - \zeta) + \varepsilon f \rho_f v_{so}^2 \sin \theta, \quad (16)$$

где v_{so} — постоянная продольная скорость жидкости внутри трубопровода; β — коэффициент трения; p_a — атмосферное давление.

Выражение для плотности силы $\Phi_t(v_{so})$ возьмем из [1]:

$$\Phi_t(v_{so}) = \frac{\alpha}{2} \ell \beta v_{so}^2. \quad (17)$$

Для определения актуальной кривизны $\kappa(\zeta, \tau)$ надо по значениям (u, v, w) определить $(\overset{o}{u}, \overset{o}{v}, \overset{o}{w})$ — компоненты вектора перемещения в начальной конфигурации из уравнений (5). Затем из (6) найти текущие координаты кривой Γ и вычислить $\kappa(\zeta, \tau)$ по формуле (7).

Таким образом, краевая задача (14), (15), дополненная уравнениями (5)–(7) и формулами (16), (17), представляет собой замкнутую двумерную математическую модель медленного движения длинного трубопровода в среде с вязким трением, учитывающую конечность перемещения стенки.

Подставляя X, Y, Z, I', ch' в уравнения движения (14) и отбрасывая слагаемые $\sim \varepsilon^2$, а также члены с производными f'_ζ , получим

$$\begin{aligned} & \alpha^2 \frac{\partial^2 u'}{\partial \zeta^2} + \frac{1-\nu}{2} \frac{\partial^2 u'}{\partial \theta^2} - \frac{\rho_t R_o^2 \omega^2}{E^*} \frac{\partial^2 u'}{\partial \tau^2} + \frac{1+\nu}{2} \alpha \frac{\partial^2 v'}{\partial \zeta \partial \theta} + \nu \alpha \frac{\partial w'}{\partial \zeta} + \varepsilon f \sin \theta \left(\frac{1-\nu}{2} u' - \right. \\ & \quad \left. - 2\alpha^2 \frac{\partial^2 u'}{\partial \zeta^2} + \alpha(1-\nu) \frac{\partial w'}{\partial \zeta} - \frac{1+\nu}{2} \alpha \frac{\partial^2 v'}{\partial \zeta \partial \theta} \right) + \varepsilon f \cos \theta \left(\frac{3-\nu}{2} \alpha \frac{\partial v'}{\partial \zeta} + \right. \\ & \quad \left. + \frac{1-\nu}{2} \frac{\partial u'}{\partial \theta} \right) - \alpha^3 (1-3\varepsilon f \sin \theta) \left[\frac{\partial w'}{\partial \zeta} \frac{\partial^2 w'}{\partial \zeta^2} + \frac{\partial v'}{\partial \zeta} \frac{\partial^2 v'}{\partial \zeta^2} \right] = -\frac{1}{E^* h^*} \Phi_t(v_{so}), \\ & \frac{1-\nu}{2} \alpha^2 \frac{\partial^2 v'}{\partial \zeta^2} + \frac{\partial^2 v'}{\partial \theta^2} - \frac{\rho_t R_o^2 \omega^2}{E^*} \frac{\partial^2 v'}{\partial \tau^2} - \frac{1}{E^* h^*} \frac{2u_1^* \mu \cos \theta}{R_o \left(0, 5 - \ln \left| \frac{\gamma \rho_{gr} u_1^*}{4\mu} R_o \right| \right)} + \frac{1+\nu}{2} \alpha \frac{\partial^2 u'}{\partial \zeta \partial \theta} + \frac{\partial w'}{\partial \theta} + \\ & + \varepsilon f \sin \theta \left(\nu \frac{\partial w'}{\partial \theta} - \nu v' - (1-\nu) \alpha^2 \frac{\partial^2 v'}{\partial \zeta^2} - \frac{1+\nu}{2} \alpha \frac{\partial^2 u'}{\partial \zeta \partial \theta} \right) + \varepsilon f \cos \theta \left(w' + \frac{\partial v'}{\partial \theta} - \frac{3-\nu}{2} \alpha \frac{\partial u'}{\partial \zeta} \right) - \end{aligned}$$

$$\begin{aligned}
& -\alpha^2(1 - 2\varepsilon f \sin \theta) \left(\frac{\partial w'}{\partial \zeta} \frac{\partial^2 w'}{\partial \zeta \partial \theta} + \frac{\partial v'}{\partial \zeta} \frac{\partial^2 v'}{\partial \zeta \partial \theta} \right) + \alpha^2 \varepsilon f \cos \theta \left[\left(\frac{\partial w'}{\partial \zeta} \right)^2 + \left(\frac{\partial v'}{\partial \zeta} \right)^2 \right] = 0, \\
& \frac{\rho_t R_0^2 \omega^2}{E^*} \frac{\partial^2 w'}{\partial \tau^2} + w' + \frac{h^{*2}}{12} \left(\alpha^2 \frac{\partial^2 w'}{\partial \zeta^2} + \frac{\partial^2 w'}{\partial \theta^2} + \alpha^4 \frac{\partial^4 w'}{\partial \zeta^4} + 2\alpha^2 \frac{\partial^4 w'}{\partial \zeta^2 \partial \theta^2} + \right. \\
& \left. + \frac{\partial^4 w'}{\partial \theta^4} \right) + \nu \alpha \frac{\partial u'}{\partial \zeta} + \frac{\partial v'}{\partial \theta} + \varepsilon f \sin \theta \left(2\nu w' + (1 - \nu) \alpha \frac{\partial u'}{\partial \zeta} + \nu \frac{\partial v'}{\partial \theta} \right) + \\
& + \varepsilon \nu f \cos \theta \cdot v' - \frac{\alpha^2}{2} (1 - \varepsilon f \sin \theta) \left[\left(\frac{\partial w'}{\partial \zeta} \right)^2 + \left(\frac{\partial v'}{\partial \zeta} \right)^2 \right] = \frac{1}{E^* h^*} (p - p_e). \quad (18)
\end{aligned}$$

Дополнив уравнения (18) краевыми условиями (15), формулами (16), (17) и уравнениями (5)–(7), получим замкнутую математическую модель движения трубопровода. Величины u_1^* , u_2^* считаем известными функциями решения, которые будут определены позже.

6. Переход к квазиодномерной математической модели

Если в уравнениях (18) отбросить нелинейные слагаемые в квадратных скобках, то тем самым мы пренебрежем влиянием растяжения трубопровода на его поперечный изгиб. При этом численные результаты будут верны для поперечных перемещений, не превышающих диаметр трубы [7]. Качественные выводы, по-видимому, останутся правильными и для больших перемещений.

В преобразованные вышеуказанным способом уравнения (18) подставим следующие представления для решений по аналогии с [1]:

$$\begin{aligned}
u' &= u_0 + u_1 \sin \theta + u_2 \cos \theta, \\
v' &= v_0 + v_1 \sin \theta + v_2 \cos \theta, \\
w' &= w_0 + w_1 \sin \theta + w_2 \cos \theta. \quad (19)
\end{aligned}$$

Эти представления являются отрезками рядов Фурье, величины u_i , v_i , w_i не зависят от θ . Как указано в [1], u_0 , v_0 , w_0 имеют смысл соответственно продольного перемещения, поворота и изменения радиуса сечения трубы как целого, $\frac{1}{2}(v_2 + w_1)$ — поперечного смещения осевой линии в плоскости ее начального изгиба, $\frac{1}{2}(v_1 + w_2)$ — смещения оси из этой плоскости. В результате подстановки (19) получим уравнения для коэффициентов Фурье:

$$\begin{aligned}
& \alpha^2 \frac{\partial^2 u_0}{\partial \zeta^2} - k_\tau \frac{\partial^2 u_0}{\partial \tau^2} + \nu \alpha \frac{\partial w_0}{\partial \zeta} + \kappa R_0 \frac{1 - \nu}{4} u_1 + \kappa R_0 \left(\frac{3 - \nu}{4} \alpha \frac{\partial v_2}{\partial \zeta} + \frac{1 - \nu}{2} u_1 \right) + \frac{\alpha \ell \beta v_{so}^2}{2E^* h^*} = 0, \\
& \frac{1 - \nu}{2} \alpha^2 \frac{\partial^2 v_0}{\partial \zeta^2} - k_\tau \frac{\partial^2 v_0}{\partial \tau^2} - \frac{\nu}{2} \kappa R_0 v_1 + \frac{1}{2} \kappa R_0 \left(w_2 + v_1 - \frac{3 - \nu}{2} \alpha \frac{\partial u_2}{\partial \zeta} \right) = 0, \\
& k_\tau \frac{\partial^2 w_0}{\partial \tau^2} + w_0 + \frac{h^{*2}}{12} \left(\alpha^2 \frac{\partial^2 w_0}{\partial \zeta^2} + \alpha^4 \frac{\partial^4 w_0}{\partial \zeta^4} \right) + \nu \alpha \frac{\partial u_0}{\partial \zeta} + \frac{\nu}{2} \kappa R_0 v_2 = \frac{1}{E^* h^*} [p_a + \ell \beta v_{so}^2 (\mathcal{L} - \zeta) - \rho_{gr} g h_0],
\end{aligned}$$

$$\begin{aligned}
& \alpha^2 \frac{\partial^2 u_1}{\partial \zeta^2} - k_\tau \frac{\partial^2 u_1}{\partial \tau^2} - \frac{1-\nu}{2} u_1 - \frac{1+\nu}{2} \alpha \frac{\partial v_2}{\partial \zeta} + \nu \alpha \frac{\partial w_1}{\partial \zeta} + \kappa R_0 \frac{1-\nu}{2} u_0 = 0, \\
& \frac{1-\nu}{2} \alpha^2 \frac{\partial^2 v_2}{\partial \zeta^2} - k_\tau \frac{\partial^2 v_2}{\partial \tau^2} - v_2 + \frac{1+\nu}{2} \alpha \frac{\partial u_1}{\partial \zeta} + w_1 - \\
& - \frac{1}{E^* h^*} \frac{2\mu u_1^*}{R_0 \left(0, 5 - \ln \left| \frac{\gamma \rho_{gr} u_1^*}{4 \mu} R_0 \right| \right)} + \kappa R_0 \left(w_0 - \frac{3-\nu}{2} \alpha \frac{\partial u_0}{\partial \zeta} \right) = 0, \\
& k_\tau \frac{\partial^2 w_1}{\partial \tau^2} + w_1 + \frac{h^{*2}}{12} \left(\alpha^4 \frac{\partial^4 w_1}{\partial \zeta^4} - \alpha^2 \frac{\partial^2 w_1}{\partial \zeta^2} \right) + \nu \alpha \frac{\partial u_1}{\partial \zeta} - v_2 = \\
& = \frac{1}{E^* h^*} \left[\kappa R_0 \rho_f v_{so}^2 - \frac{2\mu u_2^*}{R_0 \left(0, 5 - \ln \left| \frac{\gamma \rho_{gr} u_2^*}{4 \mu} R_0 \right| \right)} \right], \\
& \alpha^2 \frac{\partial^2 u_2}{\partial \zeta^2} - k_\tau \frac{\partial^2 u_2}{\partial \tau^2} - \frac{1-\nu}{2} u_2 + \frac{1+\nu}{2} \alpha \frac{\partial v_1}{\partial \zeta} + \nu \alpha \frac{\partial w_2}{\partial \zeta} + \kappa R_0 \frac{3-\nu}{2} \alpha \frac{\partial v_0}{\partial \zeta} = 0, \\
& \frac{1-\nu}{2} \alpha^2 \frac{\partial^2 v_1}{\partial \zeta^2} - k_\tau \frac{\partial^2 v_1}{\partial \tau^2} - v_1 - \frac{1+\nu}{2} \alpha \frac{\partial u_2}{\partial \zeta} - w_2 - \nu \kappa R_0 v_0 = 0, \\
& k_\tau \frac{\partial^2 w_2}{\partial \tau^2} + w_2 + \frac{h^{*2}}{12} \left(\alpha^4 \frac{\partial^4 w_2}{\partial \zeta^4} - \alpha^2 \frac{\partial^2 w_2}{\partial \zeta^2} \right) + \nu \alpha \frac{\partial u_2}{\partial \zeta} + v_1 + \nu \kappa R_0 v_0 = \frac{\rho_{gr} g R_0}{E^* h^*}. \quad (20)
\end{aligned}$$

Здесь $k_\tau = \frac{\rho_t R_0^2 \omega^2}{E^*}$. Краевые условия (15) остаются в силе.

Далее, поскольку расчет носит проверочный характер и рассматриваются перемещения, малые по сравнению с минимальным начальным радиусом кривизны оси, при вычислении текущей кривизны оси в формулах (6), (7) разницей между компонентами перемещений в начальной и актуальной системах координат можно пренебречь. В (6) тогда можно непосредственно пользоваться величинами, полученными при расчете шага времени из уравнений (19), (20). Из (6) получим

$$\begin{aligned}
x &= x_0 + R_0 u_0 \frac{\partial x_0}{\partial s} + \frac{R_0}{2} \frac{\partial y_0}{\partial s} (v_2 + w_1), \\
y &= y_0 + R_0 u_0 \frac{\partial y_0}{\partial s} - \frac{R_0}{2} \frac{\partial x_0}{\partial s} (v_2 + w_1). \quad (21)
\end{aligned}$$

Так как величина $\frac{1}{2}(v_2 + w_1)$ имеет физический смысл нормального перемещения осевой линии в плоскости изгиба, а величины u_1^* , u_2^* должны иметь смысл скоростей перемещения, полуэмпирически положим

$$u_1^* = R_0 \frac{\partial v_2}{\partial t}, \quad u_2^* = R_0 \frac{\partial w_1}{\partial t}. \quad (22)$$

Уравнения (20), дополненные однородными начальными и краевыми условиями (15) и соотношениями (7), (21), (22), являются упрощенной математической моделью процесса поперечного смещения подземного трубопровода. Модель применима при поперечных перемещениях, не превышающих диаметра трубы, в то время как исходные двумерные уравнения (18) применимы при произвольных перемещениях, пока выполняется закон Гука (12).

7. Результаты тестовых расчетов

Математическая модель (20) была протестирована на примере трубопровода, осевая линия которого в плоскости (xOy) описывается уравнением (рис. 3):

$$y = C_1 \frac{A_1 - B_1(x - D)^2}{A_1 + B_1(x - D)^2} + C_1,$$

где $C_1 = 10$, $A_1 = 2000$, $B_1 = 0.2$, $D = 1500$, при этом x менялось от 0 до 3000 м.

Физические и геометрические параметры теста: скорость жидкости $v_{so} = 1$ м/с, плотность жидкости $\rho_f = 800$ кг/м³, плотность грунта $\rho_{gr} = 1700$ кг/м³, вязкость грунта $\mu = 1000$ Па·с⁻¹, плотность материала трубы $\rho_t = 7200$ кг/м³, толщина стенки трубы $h = 0,005$ м, модуль Юнга материала трубы $E = 2 \cdot 10^{11}$ Н/м², радиус трубы $R_0 = 0,3$ м, длина трубы $L = 3000$ м.

Начально-краевая задача (7), (15), (20), (21) решена явным разностным методом, расчет проводился на интервале времени 10^5 с. График смещения осевой линии $w_n = \frac{1}{2}(w_1 + v_2)$ как функции координаты s и времени t приведен на рис. 4, 5. Этот результат согласуется с работой [8], в которой исследовано движение подземного трубопровода как длинного изогнутого стержня в вязкой среде.

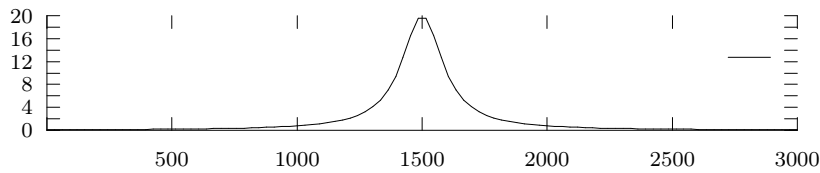


Рис. 3. Форма осевой линии трубопровода.

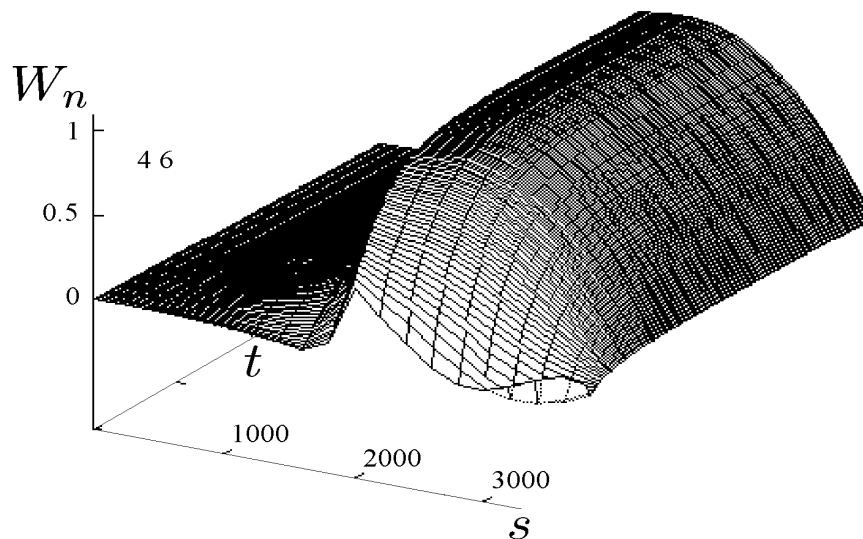


Рис. 4. Расчет при скорости потока 0.5 м/с.

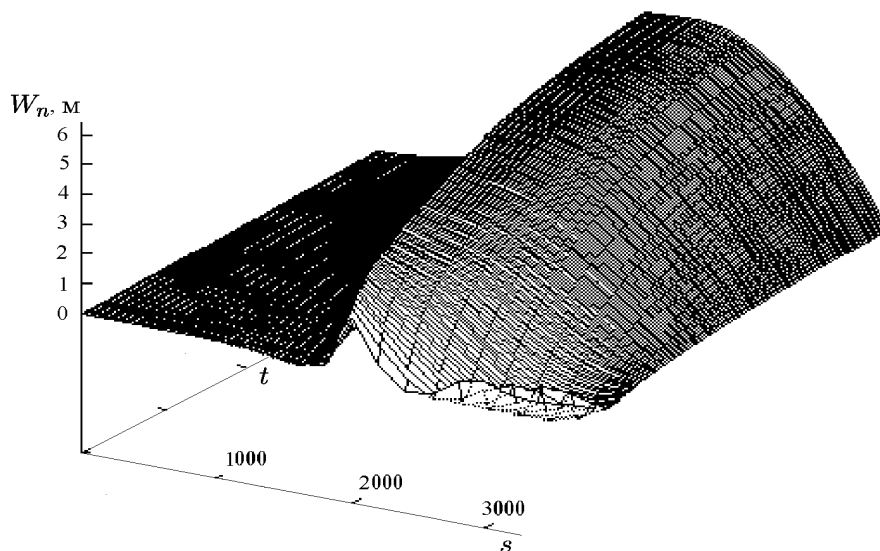


Рис. 5. Расчет при скорости потока 1 м/с.

8. Основные результаты

Исследована кинематика движения криволинейного трубопровода и дана формула связи перемещения его стенки и осевой линии. Построена замкнутая двумерная математическая модель движения трубопровода при условии конечности перемещения стенки. Полная двумерная модель редуцирована к упрощенной одномерной квазилинейной системе уравнений. Создана программа для ЭВМ поиска численного решения этой системы уравнений. Показана согласованность математической модели с известными результатами механики трубопроводов.

Список литературы

- [1] РУКАВИШНИКОВ В.А., ТКАЧЕНКО О.П. Численное и асимптотическое решение уравнений распространения гидроупругих колебаний в изогнутом трубопроводе // ПМТФ. 2000. Т. 41, № 6. С. 161–169.
- [2] ТКАЧЕНКО О.П. Нелинейные уравнения движения подземного трубопровода // Вычисл. технологии. Т. 7. Вестн. КазНУ им. Аль-Фараби. Сер. Математика, механика и информатика. № 4(32), 2002 (Совместный выпуск, ч. 4). Алматы: Изд-во КазНУ им. Аль-Фараби. 2002. С. 188–195.
- [3] КОЧИН Н.Е., КИВЕЛЬ И.А., РОЗЕ Н.В. Теоретическая гидромеханика, Т. 2. М.-Л., 1948.
- [4] СЕДОВ Л.И. Механика сплошной среды. Т. 1. М.: Наука, 1983.
- [5] ГРИГОЛЮК Э.И., МАМАЙ В.И. Нелинейное деформирование тонкостенных конструкций. М.: Наука; Физматлит, 1997. 272 с.
- [6] ВЛАСОВ В.З. Общая теория оболочек и ее приложения в технике. М., 1962. С.15–439.

- [7] ЛАНДАУ Л.Д. Теория упругости. М.: Наука. Физматлит, 1987.
- [8] ТКАЧЕНКО О.П. Движение подземного трубопровода с учетом конечности его перемещений // Вычисл. технологии. 2001. Т. 6, ч. 2. Спец. выпуск: Тр. Междунар. конф. RDAMM-2001. С. 628–631.

Поступила в редакцию 6 марта 2003 г.